

REFERENCES

REFERENCES

- [1] ชนิษฐา กาวี และ อดิศักดิ์ ทاخุลี (2543). การศึกษาผลของไออ่อนฟอสเฟตที่มีต่อ
เสถียรภาพของน้ำยางข้น. สืบคันเมื่อ 18 มิถุนายน 2554, จาก
www.turpif.or.th/.../2550_-2008-06-30_C100_R50C02009_Complete.pdf
- [2] Karunananayake, L. and Perera, G.M.P. (2006). Effect of magnesium and phosphate
ion on the stability of concentrated natural rubber latex and the properties
of natural rubber latex-dipped products. **Journal of Applied Polymer
Science**, 99, 3120-3124.
- [3] วิภาวดี พัฒนาภูล, สาวดิริ เขมวงศ์, สมนา แจ่มเหมือน และ จารัสศรี พันธ์ไม้ (2552).
การวิเคราะห์อนุมูลสำคัญในยางธรรมชาติ. สืบคันเมื่อ 23 พฤษภาคม 2554, จาก
<http://it.do-a.go.th/rrit/web/index.php?p=p3&id=774>
- [4] Loadman, M.J.R. (1998). **Analysis of rubber and rubber-like polymers**. United
States of America: Kluwer Academic Publishers.
- [5] Motomizu, S., Oshima, M. and Hirashima, A. (1988). Spectrophotometric
determination of phosphorus in river water based on the reaction of
vanadomolybdophosphate with malachite green. **Analytica Chimica Acta**,
211, 119-127.
- [6] American Public Health Association, American Water Works Association. (1992).
**Water environment federation. Standard method for the examination
of water and wastewater.** (18th ed.). United States of America: Victor
Graphics.
- [7] Matusiewicz, H. (2003). **New horizons and challenges in environmental
analysis and monitoring**. Chapter 13. Poland: Gdansk.
- [8] Velp Scientifica. (n.d.). **Instruction for use : thermoreactor ECO 16**. Italy:
Velp Scientifica.
- [9] Benson, R.L., McKelvie, I.D., Hart, B.T., Truong, Y.B. and Hamilton, I.C. (1996).
Determination of total phosphorus in waters and wastewaters by on-line
UV/thermal induced digestion and flow injection analysis. **Analytica
Chimica Acta**, 326, 29-39.

- [10] Tue-Ngeun, O., Sandford, R.C., Jakmunee, J., Grudpan, K., McKelvie, I.D. and Worsfold, P.J. (2005). Determination of dissolved inorganic carbon (DIC) and dissolved organic carbon (DOC) in freshwaters by sequential injection spectrophotometry with on-line UV photo-oxidation. **Analytica Chimica Acta**, 544, 17-24.
- [11] Tue-Ngeun, O., Ellis, P., McKelvie, I.D., Worsfold, P., Jakmunee, J. and Grudpan, K. (2005). Determination of dissolved reactive phosphorus (DRP) and dissolved organic phosphorus (DOP) in natural waters by the use of rapid sequenced reagent injection flow analysis. **Talanta**, 66, 453-460.
- [12] Tzanavaras, P.D. and Themelis, D.G. (2003). Novel flow injection spectrophotometric determination of fosinopril using UV-assisted digestion and an orthophosphates calibration graph. **Analytica Chimica Acta**, 481, 321-326.
- [13] Lyengar, G.V., Subramanian, K.S. and Woittiez, J.R.W. (1998). **Element analysis of biological sample: Principles and practice**. United States of America: CRC Press
- [14] Bock, R. (1979). **A handbook of decomposition method in analytical chemistry**. England: International Text Book Company.
- [15] Stewart, B.M. (2000). **The production of high-purity water in the clinical laboratory**. Retrieved March 1, 2011, from [http://www.millipore.com/-references/files/pmc_url/\\$file/clinicalh2o2000.pdf](http://www.millipore.com/-references/files/pmc_url/$file/clinicalh2o2000.pdf)
- [16] Welna, M., Szymczycha-Madeja, A. and Pohl, P. (n.d.). **Quality of the trace element analysis sample preparation steps**. Retrieved August 9, 2011, from http://cdn.intechopen.com/pdfs/23729/InTechQuality_of_the_trace_element_analysis_sample_preparation_steps.pdf
- [17] Eurachem. (1998). **The fitness for purpose of analytical method**. Retrieved May 11, 2011, from <http://www.eurachem.org/guides/pdf/valid.pdf>
- [18] Arruda, M.A.Z., Gallego, M. and Valcarcel, M. (1993). Determination of aluminum in slurry and liquid phase of juices by flow injection analysis graphite furnace atomic absorption spectrometry. **Analytical Chemistry**, 65(22), 3331-3335.

- [19] Novozamsky, I., Lee, H.J.V.D. and Houba, V.J.G. (1995). Sample digestion procedure for trace element determination. **Microchimica Acta**, 119, 182-189.
- [20] McHard, J.A., Foulk, S.J., Nikdel, S., Ullman, A.H., Pollard, B.D. and Winefordner, J.D. (1979). Comparison study of four atomic spectrometric method for the determination of metallic constituents in orange juice. **Analytical Chemistry**, 51(11), 1613-1616.
- [21] Braz, J., (2003). Sample preparation for atomic spectroscopy: evolution and future trends. **Journal of the Brazilian Chemical Society**, 14(2), 174-182.
- [22] Pinta, M., Scott, R.M. and Rengan, K. (1978). **Modern method for trace element analysis**. United States of America: Ann Arbor Science Publishers.
- [23] Skoog, D. A., West, D. M., Holler, F. J. and Crouch, S. R. (2004). **Fundamentals of Analytical Chemistry**. (8th ed.). Canada: Brooks/Cole.
- [24] Twyman, R.M. (2005). **Sample dissolution for elemental analysis/Wet digestion**. Retrieved March 25, 2011, from <http://www.writescience.com-RMT%20PDFs/Elsevier/eans%20wetdig.pdf>
- [25] Thermo Scientific. (2009). **Orion COD165 Thermoreactor**. Singapore: Thermo Fisher Scientific Inc.
- [26] Velp Scientifica. (2010). **ECO Series Thermoreactors-ECO 16**. Retrieved August 25, 2011, from <http://www.ert.pt/downloads/Velp%20%20ECO-%20-series.pdf>
- [27] Cataldo, F. (1997). Effects of ultrasound on the electrolytic conductivity of simple halide salts. **Journal of Electroanalytical Chemistry**, 431(1), 61-65.
- [28] Mendez, H., Alava, F., Lavilla, I. and Bendicho, C. (2002). Ultrasonic extraction combined with fast furnace analysis as an improved methodology for total selenium determination in seafood by electrothermal-atomic absorption spectrometry. **Analytica Chimica Acta**, 452(2), 217-222.

- [29] Nascentes, C.C., Korn, M., Sousa, C.S. and Arruda, M.A.Z. (2001). Use of Ultrasonic Baths for Analytical Applications: A New Approach for Optimisation Conditions. **Journal of the Brazilian Chemical Society**, 12(1), 57-63.
- [30] Kan, C., Cai, W., Li, C., Zhang, L. and Hofmeister, H. (2003). Ultrasonic synthesis and optical properties of Au/Pd bimetallic nanoparticles in ethylene glycol. **Journal of Physics D: Applied Physics**, 36, 1609-1614.
- [31] Campos, R.C., Curtius, A.J. and Berndt, H. (1990). Combustion and volatilisation of solid samples for direct atomic absorption spectrometry using silica or nickel tube furnace atomisers. **Journal of Analytical Atomic Spectrometry**, 5, 669-673.
- [32] Magalhaes, C.E.C., Krug, F.J., Fostier, A.H. and Berndt, H. (1997). Direct determination of mercury in sediments by atomic absorption spectrometry. **Journal of Analytical Atomic Spectrometry**, 12, 1231-1234.
- [33] Howard, A.G. and Stathm, P.J. (1993). **Inorganic trace analysis, philosophy and practice**. United States of America: John Wiley and Sons.
- [34] Golimowski, J. and Golimowska, K. (1996). UV-photooxidation as pretreatment step in inorganic analysis of environmental samples. **Analytica Chimica Acta**, 325(3), 111-133.
- [35] Hautaniemi, M., Kallas, J., Munter, R., Trapido, M. and Laari, A. (1998). **Modelling of chlorophenol treatment in aqueous solutions: Ozonation under basic conditions**. Ozone: Science & Engineering, 20, 283-302.
- [36] Smith, F.E. (1996). Microwave-assisted sample preparation in analytical chemistry. **Talanta**, 43(8), 1207-1268.
- [37] Lamble, K.J. and Hill, S.J. (1998). Microwave digestion procedures for environmental matrices. **Analyst**, 123, 103R-133R.
- [38] Korsakova, N.V., Toropchenova, E.S., Krigman, L.V., Budarina, N.V. and Kubrakova, I.V. (2010). Analysis of silicate materials using the microwave-assisted sample preparation. **Inorganic materials**, 46(14), 1513-1517.

- [39] Zhang, X., Cornelis, R., De Kimpe, J. and Mees, L. (1996). Arsenic speciation in serum of uraemic patients based on liquid chromatography with hydride generation atomic absorption spectrometry and on-line UV photo-oxidation digestion. **Analytica Chimica Acta**, 319, 177-185
- [40] Nyburg, S.C. (1954). A statistical structure for crystalline rubber. **Acta Crystallographica**, 7, 385-392.
- [41] Tanaka, Y. (1989). Structure and biosynthesis mechanism of natural poly-isoprene. **Progress in Polymer Science**, 14, 339-371.
- [42] Gautriaud, E. (2006). **Review of natural rubber biosynthesis of model intermediates for the preparation of a macroinitiator for the in vitro synthesis of polyisobutylene-polyisoprene diblock copolymer**. United States of America: University of Akron.
- [43] Galli, V., Olmo, N. and Barbas, C. (2002). Capillary electrophoresis for the determination of new markers of natural latex quality. **Journal of Chromatography A**, 949, 367-372
- [44] CPE, Environmental Engineering. (n.d.). **Phosphorus determination using the colorimetric ascorbic acid technique**. Retrieved May 29, 2011, from http://ceeserver.cee.cornell.edu/mw24/Archive/01/cee453/Lab_Manual/pdf/Phosphorus.pdf
- [45] Lim, S. (2011). **Determination of phosphorus concentration in hydroponics solution**. Retrieved May 20, 2011, from <http://www.chem.agilent.com/Library/applications/uv52.pdf>
- [46] **UV-Vis (Absorption) Spectrometry (Chapters 13, 14)**. (n.d.). Retrieved May 20, 2011, from <http://www.cem.msu.edu/~cem333/Week04.pdf>
- [47] **UV-Visible spectrometry**. (n.d.). Retrieved May 20, 2011, from http://ved-yadhara.ignou.ac.in/wiki/images/0/01/Unit_2_UV-Visible_Spectrometry.pdf
- [48] Tigercolor. (2000). **Introduction to Color Theory**. Retrieved May 20, 2011, from <http://www.tigercolor.com/color-lab/color-theory/images/color-wheel-300.gif>

- [49] Trademart. (2001). **SellSmart Directory Services Site**. Retrieved May 20, 2011, from http://www.trademart.in/isbin/intershop.static/WFS/SellSmart-DirectoryServices-Site/SellSmart-DirectoryServicesSite/en_US/mark-zhao_-DSC_1789.jpg
- [50] Byrne, L., Barker, J., Pennarun-Thomas, G. and Diamond, D. (2000). Digital imaging as a detector for generic analytical measurements. **Trends in Analytical Chemistry**, 19, 517-522.
- [51] Giorgianni, E.J. and Madden, T.E. (1998). **Digital color management: encoding solutions**. United States of America: John Wiley and Sons.
- [52] Lied, T.T. and Esbensen K.H. (2001). Principles of MIR, multivariate Image regression I: regression typology and representative application studies; chemometrics and intelligent laboratory systems. **Chemometrics and Intelligent Laboratory Systems**, 58, 213-226.
- [53] Antonelli, A., Cocchi, M., Fava, P., Foca, G., Franchini, G.C., Manzini, D., et al. (2004). Automated evaluation of food colour by means of multivariate image analysis coupled to a wavelet-based classification algorithm. **Analytica Chimica Acta**, 515, 3-13.
- [54] Polder, G., Van der Heijden, G.W.A.M. and Young, I.T. (2002). Spectral image analysis for measuring ripeness of tomatoes. **Transactions of the American Society of Agricultural Engineers**, 45, 1155-1161.
- [55] Huo, D.Q., Zhang, G.P., Hou, C.J., Dong, J.L., Zhang, Y.C., Liu, Z., et al. (2010). A colorimetric sensor array for identification of natural amino acids. **Chinese Journal of Analytical Chemistry**, 38(8), 1115-1120.
- [56] Suzuki, Y., Endo, M., Jin, J., Iwase, K. and Iwatsuki, M. (2006). Tristimulus colorimetry using a digital still camera and its application to determination of iron and residual chlorine in water samples. **Analytical Sciences**, 22, 411-414.
- [57] Gaiao, E.N., Martins, V.L., Lyra, W.S., Almeida, L.F., Silva, E.C., and Araujo, M.C.U. (2006). Digital image-based titrations. **Analytica Chimica Acta**, 570, 283-290.

- [58] Maleki, N., Safavi, A. and Sedaghatpour, F. (2004). Single-step calibration, prediction and real samples data acquisition for artificial neural network using a CCD camera. **Talanta**, 64, 830-835.
- [59] Suo, X.M., Jiang, Y.T., Yang, M., Li, S.K., Wang, K.R. and Wang, C.T. (2010). Artificial neural network to predict leaf population chlorophyll content from cotton plant images. **Agricultural Sciences in China**, 9(1), 38-45.
- [60] Goddijn, L.M. and White, M. (2006). Using a digital camera for water quality measurements in Galway Bay., **Estuarine, Coastal and Shelf Science**, 66, 429-436.
- [61] Raja, A.S. and Sankaranarayanan, K. (2006). Use of RGB Color Sensor in Colorimeter for better Clinical measurement of Blood Glucose. **International Journal on Bioinformatics and Medical Engineering**, 6(1), 23-28.
- [62] Lopez-Molinero, A., Liñan, D., Sipiera, D. and Falcon, R. (2010). Chemometric interpretation of digital image colorimetry application for titanium determination in plastics., **Microchemical Journal**, 96, 380-385.
- [63] Chuang, L., Hwang, J.Y., Chang, H.C., Chang, F.M. and Jong, S.B. (2004). Rapid and simple quantitative measurement of α -fetoprotein by combining immunochromatographic strip test and artificial neural network image analysis system. **Clinica Chimica Acta**, 348, 87-93.
- [64] Graupe, D. (2007). **Principles of artificial neural networks**. Singapore: B&JO Enterprise.
- [65] Gershenson, C. (2003). **Artificial neural networks for beginners**. Retrieved May 20, 2011, from <http://arxiv.org/ftp/cs/papers/0308/0308031.pdf>
- [66] McCulloch, W. and Pitts, W. (1943). A Logical Calculus of the Ideas Immanent in Nervous Activity. **Bulletin of Mathematical Biophysics**, 5, 115-133.
- [67] McClelland, J.L. and Rumelhart, D. E. (1986). **A distributed model of memory. Vol II.** England: MIT Press.
- [68] Rojas, R. (1996). **Neural networks: A systematic introduction**. Germany: Springer.
- [69] Nazari, J. and Ersoy, O.K. (1992). **Implementation of back-propagation neural networks with MatLab**. United States of America: Purdue University.

- [70] Bang-iam, N. and Masawat, P. (2012). Development of digital image-based colorimeter for protein assay in natural rubber latex. **The proceeding of 50th Kasetsart University Conference on Science and Technology**, 6, 9-16.
- [71] กรมควบคุมมลพิษ. (2548). แนวทางปฏิบัติที่ดีด้านการป้องกันและลดมลพิษ อุตสาหกรรมน้ำยางขัน. สืบค้นเมื่อ 23 กันยายน 2554, จาก <http://infofile.-pcd.go.th/water/rubbertree.pdf?CFID=9068764&CFTOKEN=88674802>
- [72] Jørgensen, B. and Goegebeur, Y. (2007). **Multivariate Data Analysis and Chemometrics**. Denmark: University of Southern Denmark.
- [73] Miller, J.C. and Miller, J.N. (1993). **Statistics for analytical chemistry**. (3rd ed.). England: Simon and Schuster International Group.

APPENDIX

APPENDIX A Calculation

Standard solution of phosphorus for the calibration curve

A stock of 1,000 mg mL⁻¹ standard phosphorus solution was prepared by dissolving 0.4390 g of KH₂PO₄ in 50 mL of de-ionized water (DI water). Then, a final volume was adjusted to 100 mL with DI water. The stock of standard phosphorus solutions (1,000 mg L⁻¹) were used for preparation of a 100 mg L⁻¹ stock solution in DI water. Various concentration solutions, 0.10, 0.20, 0.30, 0.40, 0.50, 0.60, 0.70, 0.80, 0.90 and 1.00 mg L⁻¹, of the stock solution were adjusted the volume to 10 mL. The accurate concentrations of each solution were analyzed by UV-Vis spectrophotometry.

The solution is based on the following useful relationship:

$$V_{\text{concd}} \times C_{\text{concd}} = V_{\text{dil}} \times C_{\text{dil}} \quad [23]$$

where the two terms on the left are the volume and molar concentration of a concentrated solution that is being used to prepare a diluted solution having the volume and concentration given by the corresponding terms on the right. This equation is based on the fact that the number of moles of solute in the diluted solution must equal the number of moles in the concentrated reagent. Note that the volumes can be in milliliters or liters as long as the same units are used for both solutions.

Represented in the formula; $(100 \text{ mg L}^{-1}) \times V_1 = (0.10 \text{ mg L}^{-1}) \times (10 \text{ mL})$
 $V_1 = 0.01 \text{ mL}$

% Recovery

Recovery is similar to accuracy but includes the extraction efficiency of an analytical method. Percent recovery is used in cases where no chemical reaction is taking place, as in purification of a sample. It is calculated as follows:

$$\% \text{ Recovery} = \frac{\text{Amount of pure product recovered (g)}}{\text{Amount of crude material used (g)}} \times 100 \quad [23]$$

Mean (\bar{X})

The most widely used measure of central value is the mean, \bar{X} . The mean, also called the arithmetic mean, or the average, is obtained by dividing the sum of replicate measurements by the number of measurements in the set:

$$\bar{X} = \frac{1}{(n)} \sum_{i=1}^n X_i \quad [23]$$

Where X_i represents the individual values of X making up the set of N replicate measurements.

Standard deviation (SD)

The most useful measure of spread is the standard deviation, SD. This is defined by the formula:

$$SD = \sqrt{\frac{1}{(n-1)} \sum_{i=1}^n (X_i - \bar{X})^2} \quad [23]$$

Where X_i = each value of data set

\bar{X} = the arithmetic mean of the n results considered

n = the total number of data points

Relative standard deviation (RSD)

Scientists frequently quote standard deviation in relative rather than absolute terms. It calculate the relative standard deviation by dividing the standard deviation by the mean value of the data set.

$$RSD = \frac{100SD}{\bar{X}} \quad [23]$$

Where SD = standard deviation

\bar{X} = the arithmetic mean of the n results considered

Mean squared error (MSE) [23]

The MSE is the arithmetic mean of the sum of the squares of the prediction errors; this error measure is popular and corrects the 'canceling out' effects of the previous two error measures:

$$\text{MSE} = \frac{1}{(n)} \sum_{i=1}^n (y_i - \hat{y}_i)^2 \quad [72]$$

Where y_i = the value predicted

\hat{y}_i = the target value for fitness case

n = the total number of data points

Limit of detection (LOD)

The limit of detection (LOD) is the smallest concentration that can be reported with a certain level of confidence. Every analytical technique has a LOD. LOD reported by researchers or instrument companies may not apply to real samples. The values reported are usually obtained on ideal standards with optimized instruments. These limits are useful, however, in comparing method or instruments.

$$\text{LOD} = \frac{3\text{SD}}{\text{Slope}} \quad [73]$$

Limit of quantitation (LOQ)

Limit of quantitation (LOQ) of an individual analytical procedure as the lowest amount of analyte in a sample which can be quantitatively determined with suitable precision and accuracy. The calculation method is again based on the standard deviation of the response (SD) and the slope of the calibration curve (S) according to the formula:

$$\text{LOQ} = \frac{10\text{SD}}{\text{S}} \quad [73]$$

APPENDIX B UV digestion unit



Figure 38 Outside view of UV digestion unit



Figure 39 Inside view of UV digestion unit

APPENDIX C Phosphorus determination in rubber by Kjeldahl method [4]

A weight of sample (0.1-0.5 g) such that the phosphorus content is less than 100 µg is placed in a micro Kjeldahl flask (10 cm³ capacity), 2 cm³ of concentrated sulphuric acid is added, and the solution is warmed until charring just begins. Portions of concentrated nitric acid (0.2 cm³) are added, the solution being heated after each addition until reaction has ceased and then cooled, until a total of 10 cm³ has been used. A final addition of concentrated nitric acid (0.25 cm³) is made after which heating is continued until there is no further reaction. After cooling, distilled water (10 cm³) is added carefully and the solution is heated gently to boiling. It is boiled until acid fumes are observed at the mouth of the flask. This is repeated after the addition of a further 5 cm³ of distilled water. The solution should now be colourless; if not 60% perchloric acid (0.5 cm³) is added and the solution gently heated further, taking partical care and using a safety screen. The final clear solution is diluted to 50 cm³ with distilled water in a volumetric flask.

A suitable aliquot (initially 5 cm³) is neutralized to Congo Red paper with concentrated ammonia solution and transferred to a 50 cm³ flask, distilled water being used to dilute the solution to about 25 cm³. Ammonium molybdate solution (5 cm³) is added, the solution is shaken and the reducing solution (5 cm³) is added. The flask is then placed in a boiling water bath for 30 minutes, ensuring that the solution is below the water line. It is then cooled to ambient temperature and the final dilution to 50 cm³ made in the volumetric flask.

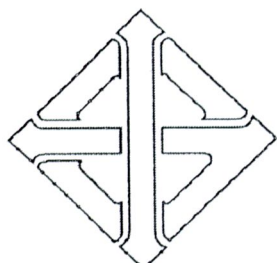
The absorbance of this solution is then measured at 700 nm against a blank solution prepared by taking all the reagents (with the exception of the rubber) through the complete procedure. The phosphorus content is calculated by reading from a calibration graph, prepared by measurement of the absorbencies of a series of standard phosphate solutions which have had their colours developed concurrently.

- Ammonium molybdate solution: a solution of 10 g ammonium molybdate in 100 cm³ distilled water is poured slowly into a cooled solution of 300 cm³ 50% aqueous sulphuric acid. This solution is stored in the dark.
- Reducing solution: sodium metabisulphite (40 g), sodium sulphite (1 g) and Metol (0.2 g) are dissolved in 100 cm³ distilled water. This solution has a shelf life

of no more than one week and ideally should be freshly prepared for each analysis. It is emphasized that many other procedures are published for developing the molybdenum blue color and these are equally valid but could well give an absorbance maximum at a wavelength different from the 700 nm found for this one.

A very convenient and substantially less time consuming procedure uses pressure bomb digestion of the rubber sample (0.2-0.25 g) with concentrated nitric acid (2 cm³) overnight at 100°C. The resulting solution is diluted with DI water to a convenient volume and the phosphorus measured by inductively coupled plasma-atomic emission spectroscopy (ICP-AES). This has the dynamic range capability (and linearity) to measure phosphorus concentrations from 1 mg kg⁻¹ to at least 1,000 mg kg⁻¹. As with other techniques which are capable of measuring several components within a single analytical run, the use of ICP-AES is particularly advantageous when other elements need to be determined for other purposes.

APPENDIX D Thai industrial standard for natural rubber latex concentrate



มาตรฐานผลิตภัณฑ์อุตสาหกรรม

THAI INDUSTRIAL STANDARD

นอก.980—2552

น้ำยางขั้นธรรมชาติ

NATURAL RUBBER LATEX CONCENTRATE

สำนักงานมาตรฐานผลิตภัณฑ์อุตสาหกรรม

กระทรวงอุตสาหกรรม

ICS 83.040.10

ISBN 978-974-292-783-7

**มาตรฐานผลิตภัณฑ์อุตสาหกรรม
น้ำยางขันธรรมชาติ**

มอก.980—2552

สำนักงานมาตรฐานผลิตภัณฑ์อุตสาหกรรม
กระทรวงอุตสาหกรรม ถนนพระรามที่ 6 กรุงเทพฯ 10400
โทรศัพท์ 0 2202 3300

ประกาศในราชกิจจานุเบกษา ฉบับประกาศและงานทั่วไป เล่ม 126 ตอนที่ ๑๕๘ ๑๕๐
วันที่ ๑๒ ตุลาคม พุทธศักราช ๒๕๕๒

**คณะกรรมการวิชาการคณะที่ 608
มาตรฐานน้ำยางชั้น**

**ประธานกรรมการ
นางสาวกรณ์ ชจรไชยกุล**

สำนักงานกองทุนสนับสนุนการวิจัย

กรรมการ

นายพายับ นามประเสริฐ
ดร.อรสา อ่อนจันทร์
นายพลชิต บัวแก้ว
นายไพบูลย์ ห้อมเกตุ
นายวารเทพ วงศ์สุทธิคุล
นางสาวมาลา ธนากรนิธิกุล
นายสุเทพ เดชาธุรักษ์
นางสุขจิตร์ ชลายันนาวิน
นายพีรวิชญ์ ทุมวงศ์
นางสาวพิพารณ์ ประทุมถิน

กรมวิทยาศาสตร์บริการ
กรมวิชาการเกษตร
องค์การสุนยา
สถาบันอุดมศึกษาแห่งประเทศไทย
สมาคมผู้ผลิตถุงมือยางไทย
สมาคมน้ำยางชั้นไทย
บริษัท แอนเซลล์ (ประเทศไทย) จำกัด
บริษัท รอยล้ออินดัสตรีส์ (ประเทศไทย) จำกัด
บริษัท เอช วี ฟิลล่า จำกัด

**กรรมการและเลขานุการ
นางกั่งแก้ว อริยะเดช**

สำนักงานมาตรฐานผลิตภัณฑ์อุตสาหกรรม

มาตรฐานผลิตภัณฑ์อุตสาหกรรมน้ำยางขันธรรมชาตินี้ ได้ประกาศใช้ครั้งแรกเป็นมาตรฐานเลขที่ มอก.980-2533 ในราชกิจจานุเบกษา เล่ม 107 ตอนที่ 142 วันที่ 9 สิงหาคม พุทธศักราช 2533 ต่อมาได้พิจารณาเห็นสมควร แก้ไขปรับปรุงคุณลักษณะทางฟิสิกส์และทางเคมีบางรายการ เช่น ของแข็งทึบหมด ของแข็งที่ไม่ใช้ยาง ยางจับก้อน เป็นต้น เพื่อให้เหมาะสมกับความต้องการของผู้ใช้ สอดคล้องตามมาตรฐานระหว่างประเทศ และความสามารถของผู้ทำ ในประเทศ จึงได้แก้ไขปรับปรุงโดยยกเลิกมาตรฐานเดิมและกำหนดมาตรฐานนี้ขึ้นใหม่

มาตรฐานผลิตภัณฑ์อุตสาหกรรมนี้กำหนดขึ้น โดยใช้ข้อมูลจากผู้ทำผู้ใช้ และเอกสารต่อไปนี้เป็นแนวทาง

ISO 35-2004	Natural rubber latex concentrate – Determination of mechanical stability
ISO 123-2001	Rubber latex – Sampling
ISO 124-1997	Latex, rubber – Determination of total solids content
ISO 125-2003	Natural rubber latex concentrate – Determination of alkalinity
ISO 126-1995	Latex, rubber, natural concentrate – Determination of dry rubber content
ISO 127-1995	Rubber, natural latex concentrate – Determination of KOH number
ISO 506-1992	Rubber latex, natural, concentrate – Determination of volatile fatty acid number
ISO 706-2004	Rubber latex – Determination of coagulum content (sieve residue)
ISO 2005-1992	Rubber latex, natural, concentrate – Determination of sludge content
ISO 7780-1998	Rubbers and rubber latices – Determination of manganese content – Sodium periodate photometric methods
ISO 8053-1995	Rubber and latex – Determination of copper content - Photometric method

คณะกรรมการมาตรฐานผลิตภัณฑ์อุตสาหกรรมได้พิจารณามาตรฐานนี้แล้ว เห็นสมควรเสนอรัฐมนตรีประกาศตาม มาตรา 15 แห่งพระราชบัญญัติมาตรฐานผลิตภัณฑ์อุตสาหกรรม พ.ศ. 2511



ประกาศกระทรวงอุตสาหกรรม

ฉบับที่ 4033 (พ.ศ. 2552)

ออกตามความในพระราชบัญญัติมาตราฐานผลิตภัณฑ์อุตสาหกรรม

พ.ศ. 2511

เรื่อง ยกเลิกและกำหนดมาตรฐานผลิตภัณฑ์อุตสาหกรรม

น้ำยาขันธรมชาติ

โดยที่เป็นการสมควรปรับปรุงมาตรฐานผลิตภัณฑ์อุตสาหกรรม น้ำยาขันธรมชาติ มาตรฐานเลขที่ มอก.

980-2533

อาศัยอำนาจตามความในมาตรา 15 แห่งพระราชบัญญัติมาตราฐานผลิตภัณฑ์อุตสาหกรรม พ.ศ.2511 รัฐมนตรีว่าการกระทรวงอุตสาหกรรมออกประกาศยกเลิกประกาศกระทรวงอุตสาหกรรม ฉบับที่ 1651 (พ.ศ. 2533) ออกตามความในพระราชบัญญัติมาตราฐานผลิตภัณฑ์อุตสาหกรรม พ.ศ.2511 เรื่อง กำหนดมาตรฐาน ผลิตภัณฑ์ อุตสาหกรรม น้ำยาขันธรมชาติ ลงวันที่ 16 กรกฎาคม พ.ศ.2533 และออกประกาศกำหนด มาตรฐานผลิตภัณฑ์อุตสาหกรรม น้ำยาขันธรมชาติ มาตรฐานเลขที่ มอก.980-2552 ขึ้นใหม่ ดังมีรายละเอียดต่อท้ายประกาศนี้

ทั้งนี้ให้มีผลเมื่อพ้นกำหนด 90 วัน นับแต่วันที่ประกาศในราชกิจจานุเบกษาเป็นต้นไป

ประกาศ ณ วันที่ 15 มิถุนายน พ.ศ. 2552

ชายชัย ชัยรุ่งเรือง

รัฐมนตรีว่าการกระทรวงอุตสาหกรรม

มาตรฐานผลิตภัณฑ์อุตสาหกรรม

น้ำยางข้นธรรมชาติ

1. ขอบข่าย

- 1.1 มาตรฐานผลิตภัณฑ์อุตสาหกรรมนี้ครอบคลุมเฉพาะน้ำยางข้นธรรมชาติที่ทำจากน้ำยางธรรมชาติโดยวิธีหมุนเหวี่ยงและโดยวิธีแยกครีม

2. บทนิยาม

ความหมายของคำที่ใช้ในมาตรฐานผลิตภัณฑ์อุตสาหกรรมนี้ นัดต่อไปนี้

- 2.1 น้ำยางธรรมชาติ (natural rubber latex) หมายถึง สารคอลลอยด์ที่มีลักษณะเป็นของเหลวสีขาวที่กริดได้จากต้นยางพาราที่มีชื่อทางวิทยาศาสตร์ว่า ไฮเยีย บรากซิเลียนเซส (*Hevea brasiliensis*)
- 2.2 น้ำยางข้นธรรมชาติ (natural rubber latex concentrate) หมายถึง น้ำยางธรรมชาติที่ทำให้เข้มข้นโดยการหมุนเหวี่ยงหรือการแยกครีม ซึ่งต่อไปในมาตรฐานนี้จะเรียกว่า “น้ำยางข้น”
- 2.3 น้ำยางข้นจากการหมุนเหวี่ยง เพื่อแยกเชรุ่ม (centrifuged rubber latex concentrate) หมายถึง น้ำยางธรรมชาติที่ทำให้เข้มข้นโดยการใช้แรงหมุนเหวี่ยง เพื่อแยกเชรุ่ม (serum) บางส่วนออกไป
- 2.4 น้ำยางข้นจากการแยกครีม (creamed rubber latex concentrate) หมายถึง น้ำยางธรรมชาติที่ทำให้เข้มข้นโดยการใช้สารช่วยทำให้เนื้อยางเป็นครีมลอยแยกตัวออกจากเชรุ่ม
- 2.5 เชรุ่ม (serum) หมายถึง ตัวกลางในการกระจายตัวสำหรับอนุภาคยาง

3. ชนิด

- 3.1 น้ำยางขันแบ่งเป็น 5 ชนิด ดัง

- 3.1.1 ชนิด HA เป็นน้ำยางขันจากการหมุนเหวี่ยง ซึ่งรักษาสภาพด้วยแอมโมเนียมเนยแต่เพียงอย่างเดียว และมีค่าความเป็นต่างไม่น้อยกว่าร้อยละ 0.60 โดยน้ำหนักน้ำยางขัน
- 3.1.2 ชนิด LA เป็นน้ำยางขันจากการหมุนเหวี่ยง ซึ่งรักษาสภาพด้วยแอมโมเนียมเนยร่วมกับสารรักษาสภาพน้ำยางขัน ชนิดอื่น และมีค่าความเป็นต่างไม่เกินร้อยละ 0.29 โดยน้ำหนักน้ำยางขัน
- 3.1.3 ชนิด MA เป็นน้ำยางขันจากการหมุนเหวี่ยง ซึ่งรักษาสภาพด้วยแอมโมเนียมเนยร่วมกับสารรักษาสภาพน้ำยางขันชนิดอื่น และมีค่าความเป็นต่างร้อยละ 0.30 ถึงร้อยละ 0.59 โดยน้ำหนักน้ำยางขัน
- 3.1.4 ชนิด HA ครีม เป็นน้ำยางขันจากการแยกครีม ซึ่งรักษาสภาพด้วยแอมโมเนียมเนยแต่เพียงอย่างเดียว และมีค่าความเป็นต่างไม่น้อยกว่าร้อยละ 0.55 โดยน้ำหนักน้ำยางขัน
- 3.1.5 ชนิด LA ครีม เป็นน้ำยางขันจากการแยกครีม ซึ่งรักษาสภาพด้วยแอมโมเนียมเนยร่วมกับสารรักษาสภาพน้ำยางขันชนิดอื่น และมีค่าความเป็นต่างไม่เกินร้อยละ 0.35 โดยน้ำหนักน้ำยางขัน

4. คุณลักษณะที่ต้องการ

- 4.1 ลักษณะทั่วไป
 - ต้องเป็นของเหลวข้น ไม่จับตัวกันเป็นก้อน และไม่มีสิ่งแปลกปลอม
 - การทดสอบให้ทำโดยการตรวจพินิจ
- 4.2 สี
 - ต้องมีสีขาวตามธรรมชาติของน้ำยาขัน ไม่เป็นสีเทา หรือสีเทาอมฟ้า
 - การทดสอบให้ปฏิบัติตามข้อ 8.1
- 4.3 กลิ่น
 - ต้องไม่มีกลิ่นบูดเน่า
 - การทดสอบให้ปฏิบัติตามข้อ 8.2
- 4.4 คุณลักษณะทางเคมี
 - ให้เป็นไปตามตารางที่ 1
 - และถ้ามีการใช้สารรักษาสภานิิตอื่นนอกจากแอมโมเนียให้ระบุชนิดและปริมาณ

**ตารางที่ 1 คุณลักษณะทางฟิสิกส์และทางเคมี
(ข้อ 4.4)**

รายการที่	คุณลักษณะ	เกณฑ์ที่กำหนด					วิธีทดสอบตาม
		ชนิด HA	ชนิด LA	ชนิด MA ¹⁾	ชนิด HA ครีม	ชนิด LA ครีม	
1	ของแข็งทึบหนาด ร้อยละโดยน้ำหนัก ไม่น้อยกว่า 61.0 หรือให้เป็นไปตามข้อตกลงระหว่างผู้ซื้อกับผู้ขาย	61.0			65.0	65.0	ISO 124
2	เบื้องyan เหลว ร้อยละโดยน้ำหนัก ไม่น้อยกว่า 60.0	60.0	60.0	60.0	64.0	64.0	ISO 126
3	ของแข็งที่ไม่ใช่ยาง ²⁾ ร้อยละโดยน้ำหนัก ไม่เกิน 1.7	1.7	1.7	1.7	1.7	1.7	-
4	ความเป็นตัน (ค่าวนวนเป็น NH ₃) ร้อยละโดยน้ำหนักก่าเรียบชั้น	ไม่น้อยกว่า 0.60	ไม่เกิน 0.29	0.30 - 0.59	ไม่น้อยกว่า 0.55	ไม่เกิน 0.35	ISO 125
5	เสถียรภาพต่อการปั๊ม ³⁾ (mechanical stability) วินาที ไม่น้อยกว่า	650	650	650	650	650	ISO 35
6	ยางจับก้อน (coagulum) ร้อยละโดยน้ำหนัก ไม่เกิน	0.03	0.03	0.03	0.03	0.03	ISO 706
7	ห้องแต่ง มิลลิกรัมต่อกริโอลิตรของช่องแข็ง ทึบหนาด ไม่เกิน	8	8	8	8	8	ISO 8053
8	แมลงน้ำส มิลลิกรัมต่อกริโอลิตรของช่องแข็ง ทึบหนาด ไม่เกิน	8	8	8	8	8	ISO 7780
9	แมลงน้ำเชิงน มิลลิกรัมต่อกริโอลิตรของช่องแข็ง ทึบหนาด ไม่เกิน	40 หรือให้เป็นไปตามข้อตกลงระหว่างผู้ซื้อกับผู้ขาย				ข้อ 8.3	
10	ตะกอน (sludge) ร้อยละโดยน้ำหนัก ไม่เกิน	0.10	0.10	0.10	0.10	0.10	ISO 2005
11	ค่ากรดไขมันที่ระเหยได้ (VFA number) ไม่เกิน	0.06 หรือให้เป็นไปตามข้อตกลงระหว่างผู้ซื้อกับผู้ขาย				ISO 506	
12	ค่าโพแทสเซียมไฮดรอกไซด์ (KOH number) ไม่เกิน	0.7 หรือให้เป็นไปตามข้อตกลงระหว่างผู้ซื้อกับผู้ขาย				ISO 127	

หมายเหตุ 1) คำนวณจากผลต่างระหว่างปริมาณของแข็งทึบหนาดกับปริมาณเนื้อยางเหลว

2) เสถียรภาพต่อการปั๊ม เป็นค่าที่วัดภายใน 21 วันนับจากวันที่ทำ

3) "MA" หรือ "XA" หมายถึง Medium Ammonia Latex

5. การบรรจุ

- 5.1 ให้บรรจุน้ำยาขันในภาชนะที่เหมาะสม สะอาด แห้ง และปิดได้สนิท ในกรณีที่ภาชนะบรรจุทำด้วยโลหะ ควรเคลือบผนังด้านในเพื่อป้องกันการปนเปื้อนจากสตูที่ใช้ทำภาชนะบรรจุ เช่น เคลือบด้วยบีทูเมนหรือ อีพ็อกซี่เรซิน
- 5.2 นำหนักสูทธิของน้ำยาขันในแต่ละภาชนะบรรจุด้วยไม่น้อยกว่าที่ระบุไว้ฉลาก การทดสอบให้ปฏิบัติตามข้อ 8.4

6. เครื่องหมายและฉลาก

- 6.1 ที่ภาชนะบรรจุน้ำยาขันทุกหน่วย อย่างน้อยต้องมีเลข อักษร หรือเครื่องหมายแจ้งรายละเอียดต่อไปนี้ให้เห็น ได้ชัดเจน
 - (1) ชื่อผลิตภัณฑ์ตามมาตรฐานน้ำยาขันไทย (Standard Thai Latex)" หรือ "STL"
 - (2) ชนิด
 - (3) น้ำหนักสูทธิ น้ำหนักภาชนะบรรจุ และน้ำหนักรวม เป็นกิโลกรัม โดยให้อยู่ในตำแหน่งใกล้เคียงกัน
 - (4) วันเดือนปีที่ทำ และรหัสรุ่นที่ทำ
 - (5) ชื่อผู้ทำ หรือโรงงานที่ทำ พร้อมสถานที่ตั้ง หรือเครื่องหมายการค้าที่จดทะเบียน ในกรณีที่ใช้ภาษาต่างประเทศ ต้องมีความหมายตรงกับภาษาไทยที่กำหนดไว้ข้างต้น

7. การซักดูอย่างและการเก็บตัวตัดสิน

- 7.1 การซักดูอย่างและการเก็บตัวตัดสิน ให้เป็นไปตามภาคหนา ก.

8. การทดสอบ

- 8.1 สี
 - 8.1.1 เครื่องมือ

งานแก้วก้นแบนขนาดเส้นผ่านศูนย์กลาง 10 เซนติเมตร
 - 8.1.2 วิธีทดสอบ

เติมอย่างประมาณ 5 ลูกบาศก์เซนติเมตร ลงในงานแก้วก้นแบน แล้วตรวจพินิจ
- 8.2 กลิ่น
 - 8.2.1 สารละลายและวิธีเตรียม
 - 8.2.1.1 สารละลายกรดอิตริกประมาณ 60 กรัม ในน้ำกลั่น 1 000 ลูกบาศก์เซนติเมตร จนอิ่มตัวที่อุณหภูมิห้อง

8.2.2 วิธีทดสอบ

เต้าหัวย่างประมาณ 20 สูกบาศก์เซนติเมตร ลงในบีกเกอร์ขนาด 100 สูกบาศก์เซนติเมตร เติมสารละลายน้ำอุ่นอีก 10 สูกบาศก์เซนติเมตร ผสมให้เข้ากันโดยการเชี่ยวบีกเกอร์ ถ้าซึ้งมีกลิ่นแอมโมเนีย ให้เติมสารละลายน้ำอุ่นอีก 10 ลิตรลงไปอีกจนไม่มีกลิ่นแอมโมเนีย แล้วดูว่ามีกลิ่นบูดแห้งหรือไม่ ยืนยันผลการทดสอบอีกครั้งหนึ่งโดยดึงบีกเกอร์ไว้ที่อุณหภูมิห้องประมาณ 10 นาที จุ่มกระดาษกรองลงในตัวอย่างปล่อยไว้ให้แห้ง แล้วดูมีกลิ่นที่กระดาษกรอง

8.3 แผนกนีเชี่ยม

8.3.1 สารละลายน้ำและวิธีเตรียม

8.3.1.1 สารละลายน้ำเฟอร์แอมโมเนีย/แอมโมเนียมคลอไรต์ ($\text{NH}_3/\text{NH}_4\text{Cl}$)

ชั้งแอมโมเนียมคลอไรต์ (NH_4Cl) 67.5 กรัม ละลายน้ำ 250 มิลลิลิตร ผสมกับสารละลายน้ำ แอมโมเนีย (ความหนาแน่นสัมพัทธ์ 0.880) 570 มิลลิลิตร* เจือจางให้ส่วนผสมทั้งหมดเป็น 1 ลิตร สารละลายน้ำที่ได้ควรมีค่าความเป็นกรด-ด่าง 10.5

หมายเหตุ * ถ้าใช้แอมโมเนียที่มีความหนาแน่นสัมพัทธ์ ต่างไปจาก 0.880 (สารละลายน้ำแอมโมเนีย ร้อยละ 33 โดยน้ำหนัก) เช่น แอมโมเนีย ความหนาแน่นสัมพัทธ์ 0.91 (สารละลายน้ำ แอมโมเนีย ร้อยละ 25 โดยน้ำหนัก) ต้องใช้ปริมาณแอมโมเนียมมากกว่า 570 มิลลิลิตร ปริมาณที่เพิ่มขึ้นใช้คำว่าความเป็นกรด-ด่าง 10.5 เป็นตัวกำหนด

8.3.1.2 แอมโมเนีย ความหนาแน่นสัมพัทธ์ 0.880

8.3.1.3 สารละลายน้ำธาตุที่เอ (EDTA) 0.005 โมลต่อลิตร

ชั้งไดโซเดียม อีทีสีน ไดอะมีน เททราแอลิฟิติก แอซิด (disodium ethylene diamine tetraacetic acid - EDTA) 1.86 กรัม ละลายน้ำ ทำให้มีปริมาตรเป็น 1 000 มิลลิลิตร หากความเข้มข้นที่แน่นอน โดยไหเทรตกับสารละลายน้ำธาตุที่เชี่ยม 0.005 โมลต่อลิตร (เตรียมสารละลายน้ำธาตุที่เชี่ยมโดยใช้ $\text{MgSO}_4 \cdot 7\text{H}_2\text{O}$ 1.2325 กรัม ละลายน้ำและทำให้มีปริมาตรเป็น 1 000 มิลลิลิตร)

8.3.1.4 สารละลายน้ำโพแทสเซียมไซยาไนต์ (KCN) 40 กรัมต่อ 1 000 มิลลิลิตร

8.3.1.5 อินดิเคเตอร์ อริโโคร์น แบล็ค ที (Eriochrome Black T)

ชั้งอิริโโคร์น แบล็ค ที 0.3 กรัม และโพแทสเซียมคลอไรต์ 100 กรัม บดผสมให้เข้ากัน

8.3.2 วิธีทดสอบ

ชั้งน้ำยาข้นอย่างละอี้ดประมาณ 10 กรัม ใส่ในบีกเกอร์ขนาด 100 มิลลิลิตร เติมน้ำกลิ่น 10 มิลลิลิตร แล้วเติมกรดแอซิติกรัรอยละ 25 โดยน้ำหนัก 5 มิลลิลิตร เมื่อยางจับตัวเป็นก้อนนำออกจากเซรุ่มปีเปตต์ เชรุ่ม 10 มิลลิลิตร ใส่ลงในบีกเกอร์อีกใบหนึ่ง เติมสารละลายน้ำเฟอร์ปรับความเป็นกรด-ด่าง ของสารละลายน้ำอิฐในช่วง 10.0 ถึง 10.2 แล้วเติมโพแทสเซียมไซยาไนต์ 4 มิลลิลิตร เติมอินดิเคเตอร์ อริโโคร์น แบล็ค ที 0.1 กรัม และไหเทรตกับสารละลายน้ำธาตุที่เชี่ยม จุดยุติการไหเทรต คือ จุดที่สารละลายน้ำเปลี่ยนจากสีม่วงเป็นสีฟ้า

$$\text{แมกนีเซียมร้อยละโดยน้ำหนัก} = \frac{24.31 \times B \times D \times 100}{1000 \times 10 \times C}$$

เมื่อ 24.31 คือ มวลอะตอมของแมกนีเซียม

A คือ น้ำหนักของน้ำยางัชั่งที่ใช้ เป็นกรัม

B คือ ความเข้มข้นของสารละลายน้ำดีที่เออ เป็นโมลต์อลิตร \times ปริมาตรของสารละลายน้ำดีที่เออที่ใช้ เป็นมิลลิลิตร

C คือ $\frac{A \times TSC}{100}$

D คือ $(A-C) + 15$

TSC คือ น้ำหนักของแข็งทั้งหมด เป็นกรัม

$$\text{ปริมาณแมกนีเซียม (มิลลิกรัมต่อกรัม)} = \frac{\text{แมกนีเซียมร้อยละโดยน้ำหนัก} \times 1\,000\,000}{100}$$

8.4 น้ำหนักสุทธิ

ชั่งน้ำหนักน้ำยางัชั่งรวมภาชนะบรรจุด้วยเครื่องชั่งที่เหมาะสม แล้วหักตัวยน้ำหนักภาชนะบรรจุเป็นผลต่างที่ได้คือน้ำหนักสุทธิ

ภาคผนวก ก.

การซักด้วยร่างและเกณฑ์ตัดสิน

(ข้อ 7.1)

ก.1 รุ่น

ก.1.1 กรณีภาระบรรจุขนาดเล็ก (ขนาดบรรจุไม่เกิน 210 ลูกบาศก์เมตร)

รุ่นในที่นี้ หมายถึง น้ำยาหงัชตนิดเดียวกัน ทำโดยกรรมวิธีเดียวกัน บรรจุในภาชนะบรรจุชนิดและขนาดเดียวกัน ที่ทำหรือส่งมอบหรือซื้อขายในระยะเวลาเดียวกัน

ก.1.2 กรณีภาระบรรจุขนาดใหญ่ (ขนาดบรรจุเกิน 210 ลูกบาศก์เมตร)

รุ่นในที่นี้ หมายถึง น้ำยาหงัชตน์ในภาชนะบรรจุเดียวกันนั้น

ก.2 การซักด้วยร่างและการยอมรับ ให้เป็นไปตามแผนการซักด้วยร่างที่กำหนดต่อไปนี้ หรืออาจใช้แผนการซักด้วยร่างอื่นที่เทียบเท่ากันหากวิชาการกันแผนที่กำหนดไว้

ก.2.1 การซักด้วยร่างและการยอมรับสำหรับการทดสอบคุณลักษณะที่ต้องการ

ก.2.1.1 กรณีภาระบรรจุขนาดเล็ก

- (1) ให้ซักด้วยร่างโดยวิธีสุ่มจากรุ่นเดียวกัน จำนวนร้อยละ 10 ของขนาดรุ่น แล้วกลิ้งหรือเยียกภาระบรรจุ หรือกวนด้วยไม้ที่หัวตั้งด้วยเครื่องกวนติดมอเตอร์หรือเครื่องกวนชนิดอื่นที่เหมาะสม จนกระทั้งด้วยร่างผสมเป็นเนื้อเดียวกัน ควรหลีกเลี่ยงการกวนด้วยร่างมากเกินไป และหลีกเลี่ยงการให้ตัวอย่างสัมผัสอากาศโดยไม่จำเป็น แล้วใช้เครื่องมือที่เหมาะสม เช่น ท่อแก้วหรือท่อเหล็กกล้าไร้สนิม ที่สะอาดและแห้ง ซักด้วยร่างในแต่ละภาระบรรจุจากผู้หน้าอิจกันภาระทันที โดยซักด้วยร่างมากภาระบรรจุจะเท่าๆ กัน ให้ได้ตัวอย่างรวมไม่น้อยกว่า 2 ลูกบาศก์เมตร เก็บไว้ในขวดที่สะอาด แห้ง และปิดได้สนิท และแสดงวัน เดือน ปีที่ซักด้วยร่าง และรายละเอียดที่จำเป็นอื่นๆ ที่เกี่ยวกับการซักด้วยร่างไว้ชัดด้วย
- (2) ตัวอย่างน้ำยาหงัชตน์ต้องเป็นไปตามข้อ 4. ทุกรายการ จึงจะถือว่าน้ำยาหงัชตน์นี้เป็นไปตามเกณฑ์ที่กำหนด

ก.2.1.2 กรณีภาระบรรจุขนาดใหญ่

- (1) ให้ซักด้วยร่างโดยวิธีใดวิธีหนึ่งดังต่อไปนี้

(1.1) การซักด้วยร่างจากภาระบรรจุ

เมื่อกวนน้ำยาหงัชตน์เข้ากันอย่างทั่วถึงแล้ว ใช้เครื่องมือที่เหมาะสมซักด้วยร่างจากระดับต่างๆ 3 ระดับ คือ ระดับบน กลาง และล่าง ในปริมาณเท่าๆ กัน ให้ได้ตัวอย่างรวมไม่น้อยกว่า 2 ลูกบาศก์เมตร เก็บไว้ในขวดที่สะอาด แห้ง และปิดได้สนิท และแสดงวัน เดือน ปีที่ซักด้วยร่าง และรายละเอียดที่จำเป็นอื่นๆ ที่เกี่ยวกับการซักด้วยร่างไว้ชัดด้วย

(1.2) การซักตัวอย่างขยะที่มีการถ่ายหรือบรรจุน้ำยาขันจากถังเก็บ (storage tank) ลงภาชนะบรรจุ

เมื่อกวนน้ำยาขันในถังเก็บจนเข้ากันดีแล้ว ให้ซักตัวอย่างน้ำยาขัน 3 ครั้ง แต่ละครั้ง ควรเป็นน้ำยาขันที่มาจากกระตับลึกประมาณ $\frac{1}{4}$ $\frac{1}{2}$ และ $\frac{3}{4}$ จากผิวหน้าน้ำยาขันในปริมาณ เท่า ๆ กัน ให้ได้ตัวอย่างรวมไม่น้อยกว่า 2 ลูกบาศก์เมตร เมตร เก็บไว้ในชุดที่สะอาด แห้ง และปิดได้สนิท แล้วแสดงวัน เดือน ปีที่ซักตัวอย่าง และรายละเอียดที่จำเป็นอื่นๆ เพื่อยกับการซักตัวอย่างไว้ที่ขาดตัวย

(2) ตัวอย่างน้ำยาขันต้องเป็นไปตามข้อ 4. ทุกรายการ จึงจะถือว่าน้ำยาขันรุ่นนั้นเป็นไปตามเกณฑ์ที่กำหนด

ก.2.2 การซักตัวอย่างและภาระยอมรับการทดสอบน้ำหนักสุทธิ และเครื่องหมายและฉลาก (เฉพาะกรณีภาชนะบรรจุขนาดเล็ก)

ก.2.2.1 ให้ซักตัวอย่างโดยวิธีลุ่มจากรุ่นเดียวกันตามจำนวนที่กำหนดในตารางที่ ก.1

ก.2.2.2 จำนวนตัวอย่างที่ไม่เป็นไปตามข้อ 5.2 และข้อ 6. ต้องไม่เกินเลขจำนวนที่ยอมรับที่กำหนดในตารางที่ ก.1 จึงจะถือว่าน้ำยาขันรุ่นนั้นเป็นไปตามเกณฑ์ที่กำหนด

ตารางที่ ก.1 แผนการซักตัวอย่างสำหรับการทดสอบน้ำหนักสุทธิและเครื่องหมายและฉลาก

(เฉพาะกรณีภาชนะบรรจุขนาดเล็ก)

(ข้อ ก.2.2.1 และข้อ ก.2.2.2)

ขนาดรุ่น หน่วยภาชนะบรรจุ	ขนาดตัวอย่าง หน่วยภาชนะบรรจุ	เลขจำนวนที่ยอมรับ
ไม่เกิน 150	2	0
151 ถึง 500	8	1
500 ถึง 1 200	13	2
1 201 ขึ้นไป	20	3

ก.3 เกณฑ์ตัดสิน

ตัวอย่างน้ำยาขันต้องเป็นไปตามข้อ ก.2.1.1 (2) และข้อ ก.2.2.2 ทุกข้อ หรือเป็นไปตามข้อ ก.2.1.2 (2) แล้วแต่กรณี จึงจะถือว่าน้ำยาขันรุ่นนั้นเป็นไปตามมาตรฐานผลิตภัณฑ์อุตสาหกรรมนี้

BIOGRAPHY



BIOGRAPHY

Name - Surname

Benyanan Panwong

Date of Birth

March 21, 1988

Address

269 M.5 Tambon Janjawa Amphur Maechan
Chaingrai Province Thailand 57270

Education background

2009

B.S. (Chemistry) Naresuan University
Phitsanulok, Thailand.

